

# 微量稀土 Sm 对 AZ91D 显微组织和腐蚀性能的影响

刘红霞 梁金 章珏 张小联

赣南师范学院 江西省镁合金材料工程技术研究中心 赣州 341000

**摘要:**利用扫描电镜 (SEM) 结合能谱分析 (EDS)、X 射线衍射 (XRD)、腐蚀失重实验、电化学极化曲线等方法,研究了 0.1%, 0.4%, 0.7% 和 1.0% 的 Sm 对 AZ91D 合金的微观组织和腐蚀性能的影响,并对其腐蚀机理进行分析。结果表明:随着 Sm 含量的增加,合金中粗大的枝状第二相 ( $\beta$ -Mg<sub>17</sub>Al<sub>12</sub>) 逐渐断裂变小,其体积分数下降,因为 Sm 会结合 Al 形成颗粒状的 Al<sub>2</sub>Sm 和杆状的 Al<sub>3</sub>Sm,从而减少晶界处第二相的数量,使第二相呈不连续分布;AZ91D 的耐腐蚀性随着 Sm 加入量的增多,先增加后降低;当 Sm 加入量为 1.0% 时,合金的耐腐蚀性与不添加 Sm 的 AZ91D 接近;Sm 的最佳添加量为 0.4%。

**关键词:**腐蚀失重 Sm AZ91D 耐腐蚀性

中图分类号: TG172 文献标识码: A 文章编号: 1002-6495(2015)01-0043-06

## Effect of Trace Sm Addition on Microstructure and Corrosion Resistance of AZ91D Alloy

LIU Hongxia, LIANG Jin, ZHANG Jue, ZHANG Xiaolian

*Magnesium Alloy Materials Engineering Technical Research Center of Jiangxi Province, Gannan Normal University, Ganzhou 341000, China*

**Abstract:** The influence of 0.1%, 0.4%, 0.7% and 1.0% Sm addition on microstructure and corrosion property of AZ91D alloy was studied by means of SEM with EDS, XRD, corrosion weight loss test and electrochemical polarization curve *etc.* The results show that with the increasing Sm content, the bulky dendritic second phase ( $\beta$ -Mg<sub>17</sub>Al<sub>12</sub>) in the alloy becomes finer and the volume fraction of which decreases gradually, whilst Sm may combine with Al to form granular Al<sub>2</sub>Sm and rod-shaped Al<sub>3</sub>Sm, thereby, cutting down the number of the second phase in grain boundaries, leading to the second phase discontinuous distribute; Sm can improve the corrosion resistance of alloy, but the corrosion resistance firstly increases and later decreases with the increasing Sm content. The corrosion resistance of the alloy with 1.0% Sm is close to the bare AZ91D. The optimum addition amount is 0.4% Sm for the highest corrosion resistance.

**Key words:** corrosion mass loss, Sm, AZ91D, corrosion resistance

### 1 前言

镁合金具有质轻、高比刚度、高阻尼,减震降噪

能力显著,以及良好的导电导热性能,加工回收时不易产生污染等优点,广泛应用于交通、通讯、航空航天等领域<sup>[1]</sup>。但是由于镁合金耐腐蚀性能差,从而限制了它的进一步推广和应用,如何提高镁合金的耐腐蚀性能已经成为材料研究领域的热点。目前,提高镁合金耐腐蚀性的研究方法包括表面处理技术、涂层技术、合金化<sup>[2-9]</sup>。有研究表明<sup>[10-16]</sup>,稀土元素以及混合稀土对镁合金的腐蚀性能产生影响,如

定稿日期: 2014-04-02

作者简介: 刘红霞,女,1988年生,硕士生

通讯作者: 张小联, E-mail: hongxia19838486@yeah.net, 研究方向为高性能稀土镁合金及熔盐电解法制备稀土中间合金

DOI: 10.11903/1002.6495.2014.077

La、Pr、Ce、Nd、Y、Ho等。樊昱等<sup>[10]</sup>研究了La加入到AZ91D合金中对其耐腐蚀性能的影响,结果表明La的加入可以形成一种类网状结构的 $\beta$ 相,从而抑制合金的腐蚀;宋雨来等<sup>[11]</sup>研究了Ho对AZ91D合金腐蚀性能的影响,结果认为Ho能抑制第二相的阴极作用,使自腐蚀电位提高,从而提高了合金的耐腐蚀性能;孟赢等<sup>[12]</sup>研究了Pr对AZ91压铸镁合金耐腐蚀性能的影响,结果表明Pr的加入可以形成条状的 $\text{Al}_{11}\text{Pr}_3$ 相和块状的 $\text{Al}_6\text{Mn}_6\text{Pr}$ 相,提高了合金的耐腐蚀性能,且其耐腐蚀性能与Pr的含量成正比;王浩等<sup>[16]</sup>研究了Sm对AZ80镁合金腐蚀性能的影响,结果表明:加入0.6%Sm,合金的自腐蚀电位升高,自腐蚀电流密度下降,合金的耐腐蚀性能有所提高。目前,Sm对镁合金性能影响机理的研究还不够成熟,有待进一步研究。

自从1803年钕铁硼磁性材料的发展,导致Nd的价格大幅上涨,而La、Ce、Sm成为了过剩金属,对这些过剩金属的开发利用成为目前研究热点,由于Sm在Mg中的固溶度较大,可以达到5.8%,加之 $\text{Sm}_2\text{O}_3$ 是目前单一稀土氧化物中价格最低的,有望大幅降低钕合金的成本,在Mg和铝合金中应用前景十分广阔。本文通过失重腐蚀及电化学方法研究了稀土Sm对AZ91D合金耐腐蚀性能的影响,并确定了Sm在AZ91D镁合金中的最佳加入量。

## 2 实验方法

实验所用材料为AZ91D、Mg-30%Sm合金。实验前将熔炼炉、合金材料、模具等预热到300℃左右,覆盖剂和精炼剂烘干,磨粉备用,实验时通入Ar、134a保护气体。温度保持在680℃左右,待所加的AZ91D合金全部熔化后,升高温度到720℃,按实验方案加入Mg-30%Sm,待其全部熔化后,加入精炼剂,除杂,680℃下静置30 min,浇注。根据所加Sm的含量(空白、0.1%、0.4%、0.7%、1.0%)的不同,依次将合金命名为S0、S0.1、S0.4、S0.7、S1.0。经过等离子体原子发射光谱仪(ICP-AES)分析,得到AZ91D合金的实际成分(质量分数,%)为:Al 9.6744, Zn 0.7582, Fe<0.0345, Mn<0.1901, Si<0.005, Cu<0.0094, Mg为余量。S0.1、S0.4、S0.7、S1.0合金中Sm的实际加入量依次为0.0895, 0.4102, 0.6893, 0.9823。

失重实验的试样尺寸为 $\Phi 18\text{ mm} \times 3.5\text{ mm}$ ,腐蚀环境为5%NaCl溶液,温度为 $25 \pm 0.5\text{ }^\circ\text{C}$ ,腐蚀时间分别为1、2、3、4和5 d。将试样依次用金相氧化铝耐水砂纸逐级打磨至1500#,依次用酒精、去离子水进行除油、清洗,超声波清洗干燥后称取质量。腐蚀后的样品经大量蒸馏水冲洗,用铬酸(20 g/L  $\text{AgNO}_3$  +

200 g/L  $\text{CrO}_3$ )溶液清洗腐蚀产物,干燥后再次称取质量,用下面的公式来计算样品的腐蚀速率。

$$v = \frac{m_1 - m_2}{s \cdot t} \quad (1)$$

式中: $v$ 为金属的腐蚀速率,  $(\text{g}/(\text{m}^2 \cdot \text{h}))$ ;  $m_1$ 为腐蚀前合金试样的质量,  $\text{g}$ ;  $m_2$ 为腐蚀后经清洗干燥后试样的质量,  $\text{g}$ ;  $s$ 为试样的有效工作面积,  $\text{m}^2$ ;  $t$ 为试样的腐蚀时间,  $\text{h}$ 。

使用FEI-450带能谱分析(EDS)的扫描电镜(SEM)观察合金的显微组织,并进行相应的成分含量分析。采用D8-Advance-X射线衍射仪(XRD)对合金的物相组成进行分析。

采用CS350电化学工作站进行动电位扫描,选择三电极工作体系,以合金试样作为工作电极,饱和甘汞电极为参比电极,铂金电极为辅助电极,5%NaCl溶液为介质,工作面积为 $1\text{ cm}^2$ ,扫描区间为 $-0.1 \sim 0.1\text{ V}$ ,扫描速率为 $2.0\text{ mV} \cdot \text{S}^{-1}$ ,从阴极向阳极开始扫描。

## 3 结果与分析

### 3.1 合金物相组成与微观组成分析

XRD(图1)分析结果可以看出,AZ91D合金的主要物相组成为 $\alpha\text{-Mg}$ 、 $\beta\text{-Mg}_{17}\text{Al}_{12}$ ,添加稀土元素Sm后合金试样的物相组成为 $\alpha\text{-Mg}$ 、 $\beta\text{-Mg}_{17}\text{Al}_{12}$ 、 $\text{Al}_2\text{Sm}$ 以及 $\text{Al}_3\text{Sm}$ ,其中当Sm含量为0.4%和0.7%时,除了形成 $\text{Al}_2\text{Sm}$ 外,还会形成另外一种铝稀土相 $\text{Al}_3\text{Sm}$ 。

图2为合金的光学显微组织。图2a中大块的灰色部分为 $\alpha\text{-Mg}$ 基体,黑色的枝状组织为 $\beta\text{-Mg}_{17}\text{Al}_{12}$ ,呈现典型的铸态粗大枝状化合物形态。图2b~e为加入Sm后的合金显微组织,从图中可以看出,随着Sm的加入,第二相的体积分数逐渐减小,呈现半连续状态,当Sm含量达到1.0%时,第二相变为碎小的岛状组织均匀的分布在基体中。分析认为,当 $\beta$ 相呈

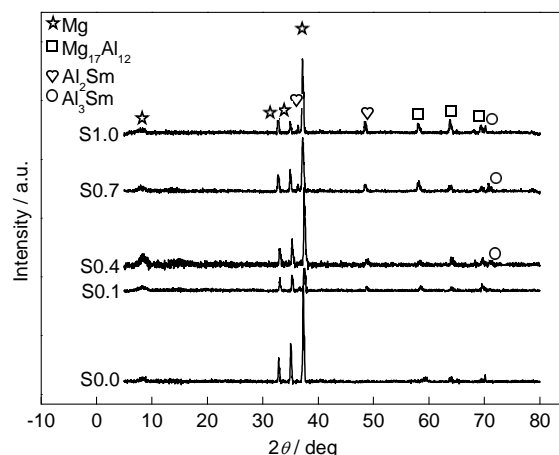


图1 不同Sm含量AZ91D合金的XRD谱

Fig.1 XRD spectra of AZ91D with different Sm content



现不连续状态且体积分数小时,起阴极作用,加速合金的腐蚀;当 $\beta$ 相连续、均匀分布且体积分数较大时,起阳极作用,可以抑制腐蚀从一个 $\alpha$ 晶粒延伸到另一个 $\alpha$ 晶粒,使镁合金不易受腐蚀,从而提高镁合金的耐腐蚀性能<sup>[17-19]</sup>。

对所得的各个合金试样进行 SEM 以及 EDS 分析,如图 3 所示。图中黑色部分为 $\alpha$ -Mg, $\beta$ -Mg<sub>17</sub>Al<sub>12</sub>呈岛状,图中亮白色的组织为 Al-Sm 相,其中颗粒状为 Al<sub>2</sub>Sm,杆状为 Al<sub>3</sub>Sm。影响 AZ91D+x%Sm 合金腐蚀性能的可能性原因有:(1) Sm 含量的不同导致 Al-Sm 新相的数量、分布不同;(2) 也有可能是过多

的 Sm 消耗了基体中的 Al,导致 $\alpha$ -Mg 基体中的 Al 含量偏低,从而出现贫铝区,导致合金的耐腐蚀性能下降。由表 1 中第一个点的各个元素含量的数据可以

表 1 不同物相的元素组成  
Table 1 Element compositions of different phases  
(mass fraction / %)

Point	MgK	AlK	SmL
1 ( $\alpha$ -Mg)	93.82	6.09	0.09
2 (Al <sub>2</sub> Sm)	42.98	56.44	1.08
3 ( $\beta$ -Mg <sub>17</sub> Al <sub>12</sub> )	61.75	37.69	0.00
4 (Al <sub>3</sub> Sm)	54.40	43.37	2.24

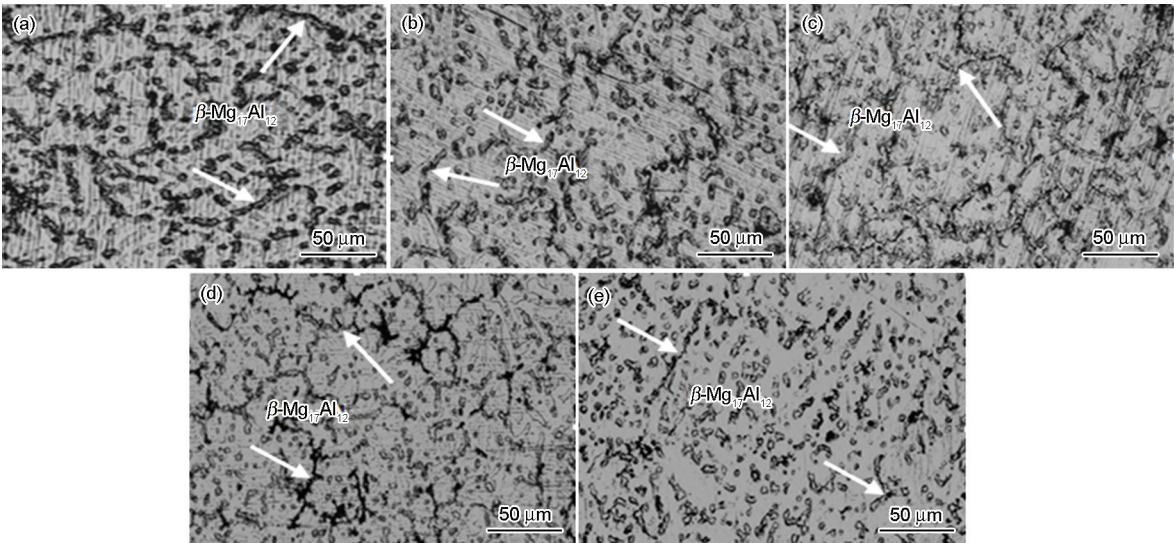


图 2 铸态 AZ91D+x%Sm 合金的光学显微组织  
Fig.2 Optical microstructures of AZ91D+x%Sm cast alloys: (a) S0, (b) S0.1, (c) S0.4, (d) S0.7, (e) S1.0

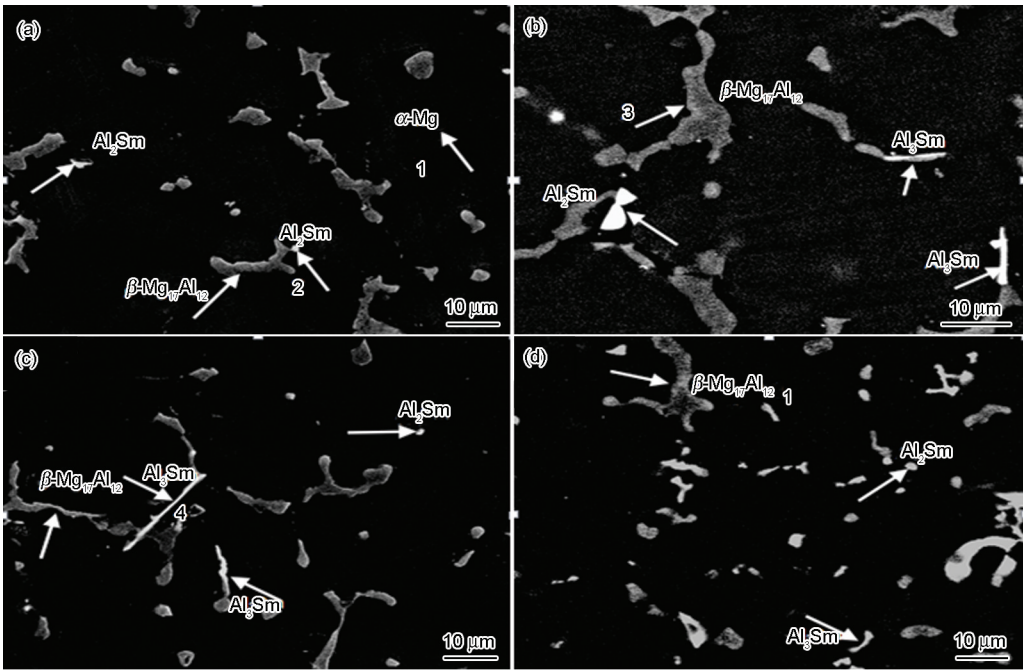


图 3 铸态 AZ91D+x%Sm 系列合金的 SEM 像  
Fig.3 SEM images of AZ91D+x%Sm cast alloys: (a) S0.1, (b) S0.4, (c) S0.7, (d) S1.0

chinaXiv:202303.10671v1

看出,  $\alpha$ -Mg 基体相中含有少量的 Sm, 替换了部分 Mg, 由于 Sm 的原子半径大于 Mg 的原子半径, 所以 Sm 替换部分 Mg 有利于防止原子脱臼<sup>[20]</sup>。同时在 Mg 基体中固溶有少量的 Sm 可形成置换固溶体, 因此在 AZ91D 中加入 Sm, 能够起到固溶强化的作用, 可提高合金的力学性能, 并且有研究表明<sup>[21]</sup>, 溶质原子与基体金属之间的原子半径相差越大, 固溶强化作用越显著。

图4为 S0.4 合金的元素面扫描分布图。从扫描结果可以得出: Sm 在 AZ91D 中的分布较均匀, 无偏析现象。

### 3.2 失重速率

根据失重实验结果, 得到合金的腐蚀速率与腐蚀时间的关系图, 如图5所示。可以看出加入 Sm 后, AZ91D 合金的耐腐蚀性能有了明显的提高。当 Sm 的加入量达到 1.0% 时, 腐蚀速率与空白合金样接近, 耐腐蚀性变差。这可能是由于过量的 Sm 会消耗  $\alpha$ -Mg 基体中的 Al, 导致基体中的 Al 含量下降, 出现贫铝区, 导致其耐腐蚀性能下降。合金系列的耐腐蚀性能顺序为: S0.4 > S0.1 > S0.7 > S1.0 > S0.0, 由此可见稀土 Sm 的含量并不是越多越好, 少量的 Sm

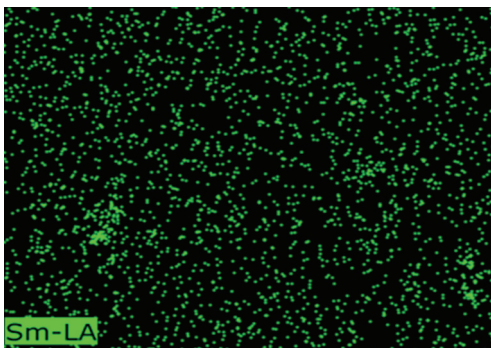


图4 Sm 面扫描分布图

Fig.4 Element mapping image of Sm

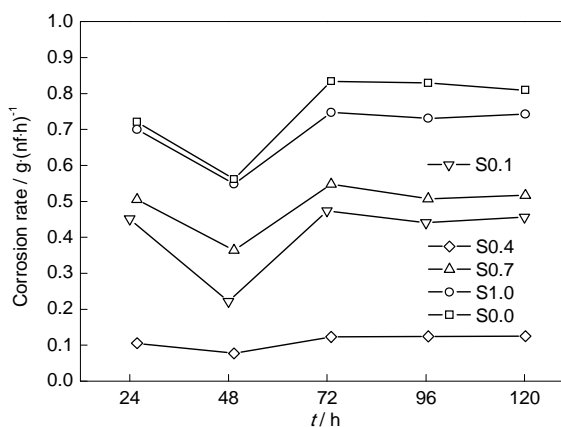


图5 AZ91D+x%Sm 合金的腐蚀速率随腐蚀时间的变化

Fig.5 Corrosion rate of AZ91D+x%Sm alloy with corrosion time

就可以提高合金的耐腐蚀性能。由于镁合金在 NaCl 溶液中的初期腐蚀主要有两方面: (1) 表面钝化膜的形成及增厚; (2) Cl 的侵入及点蚀的形成, 所以在合金腐蚀的初期阶段, 其腐蚀速率呈下降趋势<sup>[22]</sup>。

### 3.3 极化曲线

图6为不同 Sm 含量的合金在 5%NaCl 溶液中的动电位极化曲线。由图6可知, 加入 Sm 的合金相比于空白合金, 其腐蚀电位向正方向偏移。主要有以下几个原因: (1) 根据金属学理论, 两元素间电负性差值越大, 结合力就越大, 越易形成金属间化合物, 由于 Sm 与 Mg 的电负性差 (0.04) 远小于 Sm 与 Al 的电负性差 (0.44), 因此当 Sm 加入 AZ91 合金中时, 会优先与 Al 结合形成热力学稳定性好、高熔点 (1500 °C) 的  $Al_3Sm$  弥散颗粒质点, 有利于提高合金的耐腐蚀性能。 (2) Sm 的加入可以在一定程度上抑制第二相的阴极作用。当 Sm 含量达到 1.0% 时, 其腐蚀电位与未添加稀土 Sm 的合金接近, 而添加 0.4% Sm 时, 合金的腐蚀电位最正, 最耐腐蚀。对图6极化曲线的数据进行 Tafel 拟合, 结果如表2所示。合金中加入 Sm 后, 其自腐蚀电流密度小于原始合金, 而合金的腐蚀速率与自腐蚀电流密度呈正比关系, 这也说明加 Sm 后的合金腐蚀速率小于空白合金的, 因此加 Sm 有利于提高合金的耐腐蚀性。从热力学角度出发, 自腐蚀电位可以反映合金的受腐蚀的难易程度, 自腐蚀电位的提高, 可以从一定程度上提高合金的耐腐蚀性能。如果合金的耐腐蚀性好或者所加的缓蚀剂效果好, 则其阴阳极的 Tafel 斜率就较大。通过对比可知: AZ91DSm0.4 的  $B_a$ 、 $B_c$  明显大于其他合金。综上所述, AZ91DSm0.4 的耐腐蚀性能最好。

### 3.4 腐蚀形貌

合金试样在 5%NaCl 溶液中浸泡 1 和 3 d 后, 对

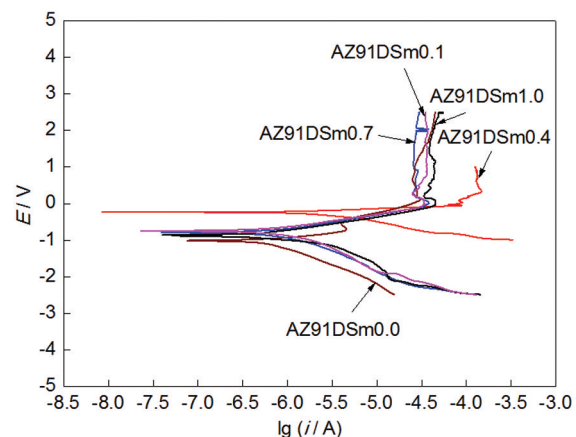


图6 Sm 含量对 AZ91D 合金极化曲线的影响

Fig.6 Effect of Sm content on the polarization curves of AZ91D alloy



表 2 Tafel 拟合后的具体数值  
Table 2 Specific values after Tafel fitting

Preparation method	$B_a$ / mv	$B_c$ / mv	$I_{\text{corr}}$ / $\text{A} \cdot \text{cm}^{-2}$	$E_{\text{corr}}$ / V
Sm0.0	143.25	150.21	$2.2653 \times 10^{-6}$	-0.9236
Sm0.1	230.21	287.25	$1.6502 \times 10^{-6}$	-0.5623
Sm0.4	320.52	344.36	$1.2623 \times 10^{-6}$	-0.3052
Sm0.7	207.36	214.23	$1.9602 \times 10^{-6}$	-0.6089
Sm1.0	155.83	163.54	$2.0032 \times 10^{-6}$	-0.7327

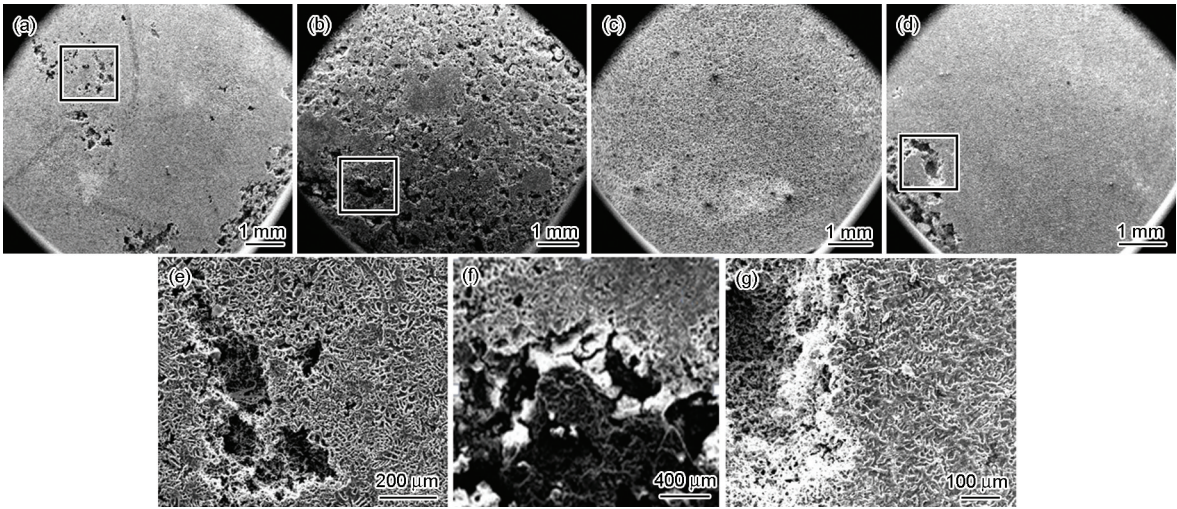


图 7 AZ91D+x%Sm 合金的腐蚀形貌

Fig.7 Corrosion morphologies of AZ91D+x%Sm alloy: (a) S0.0 alloy/1 d, (b) S0.0 alloy/3 d, (c) S0.4 alloy/1 d, (d) S0.4 alloy/3 d, (e) local amplification of block part in Fig.7a, (f) local amplification of block part in Fig.7b, (g) local amplification of block part in Fig.7d

其腐蚀形貌进行 SEM 分析,如图 7 所示。从图 7a 可以看出,S0.0 合金在 5%NaCl 中浸泡 1 d 后就发生了点蚀,点蚀坑小且浅,受腐蚀面积小。图 7c 中,S0.4 合金表面并没有发生明显的腐蚀。浸泡 3 d 后,S0.0 合金表面出现了大范围的腐蚀,点蚀坑尺寸增加,数量增多,在有些地方点蚀坑已连接成片,呈河流花样式,腐蚀很严重,如图 7b 所示。而 S0.4 合金表面只是在边角地方出现了小范围的腐蚀,点蚀坑数量少。图 7e~g 分别为图 7a, b 和 d 中方框区域的局部放大图。在图 7f 中可得:S0.0 合金经腐蚀后,在腐蚀区域,腐蚀液在纵向方向上的侵蚀深,蚀坑又大又深(图中黑色部分为较深的腐蚀坑),受腐蚀很严重。这可能是由于这些区域是杂质、析出相等聚集的地方,更容易发生腐蚀,Cl<sup>-</sup>会更容易的先侵入进行腐蚀。与没有加 Sm 的合金相比较,其耐腐蚀性能有了明显的提高。

4 结论

(1) Sm 能结合 Al 形成颗粒状的 Al<sub>3</sub>Sm 和杆状的 Al<sub>2</sub>Sm,从而减少晶界处第二相的数量,使粗大连续

网状分布的第二相呈不连续分布。  
(2) 在 AZ91D 中添加少量的稀土 Sm 就可以明显地提高合金的耐腐蚀性能,合金的耐腐蚀性能随 Sm 含量的增多而先升高后降低。添加稀土 Sm 后 AZ91D 合金的耐腐蚀性顺序为:S0.4>S0.1>S0.7>S1.0>S0.0。其机理主要是:抑制第二相的阴极作用,提高合金的自腐蚀电位。

参考文献

[1] 唐定骧,刘余九. 稀土金属材料 [M]. 北京: 冶金工业出版社, 2011  
[2] Sungmo M. Corrosion behavior of PEO-treated AZ31 Mg alloy in chloride [J]. Org. Paper, 2013, 13(4): 120  
[3] Qu L J, Li M Q. Microstructure and corrosion resistance of ultrasonic micro-arc oxidation biocoatings on magnesium alloy [J]. J. Adv. Ceram., 2013, 2(3): 227  
[4] Yang W, Wang P. Microstructure and corrosion resistance of modified AZ31 magnesium alloy using microarc oxidation combined with electrophoresis process [J]. J. Wuhan Univ. Technol. Mater., 2013, 28(3): 612  
[5] Altun H, Sen S. The effect of PVD coatings on the corrosion behaviour of AZ91 magnesium alloy [J]. Mater. Design, 2006, 27: 1174  
[6] Wang D H, Bierwagen G P. Sol-gel coatings on metals for corrosion protection [J]. Prog. Org. Coat., 2009, 64: 32

chinaXiv:202303.10671v1

- [7] Correa P S, Malfatti C F, Azambuja D S. Corrosion behavior study of AZ91 magnesium alloy coated with methyltriethoxysilane doped with cerium ions [J]. *Prog. Org. Coat.*, 2011, 72: 739
- [8] 宋雨来. 稀土改性AZ91镁合金组织及腐蚀性能 [M]. 北京: 冶金工业出版社, 2006
- [9] Luo T J, Yang Y S. Corrosion properties and corrosion evolution of as-cast AZ91 alloy with rare earth yttrium [J]. *Mater. Design*, 2011, 32: 5043
- [10] 樊昱, 吴国华, 高洪涛. La对AZ91D镁合金力学性能和腐蚀性能的影响 [J]. *金属学报*, 2006, 42(1): 35
- [11] 宋雨来, 刘耀辉. Ho对AZ91镁合金显微组织和力学性能的影响 [J]. *湖南大学学报*, 2008, 35(3): 67
- [12] 孟赢, 刘海峰, 佟国栋. Pr对AZ91压铸镁合金耐腐蚀性能的影响 [J]. *汽车工艺与材料*, 2012, (10): 52
- [13] 赵源华, 陈云贵. Nd和Ce对AZ91镁合金显微组织和腐蚀性能的影响 [J]. *特种铸造及有色合金*, 2009, 29(1): 67
- [14] 王娜. Nd对AZ91镁合金显微组织和耐腐蚀性能的影响 [J]. *材料研究学报*, 2011, 25(2): 214
- [15] 姚素娟. 钇对AZ91镁合金微观组织及腐蚀性能影响的研究 [J]. *中国稀土学报*, 2007, 25(3): 329
- [16] 王浩, 文九巴, 贺俊光. 微量稀土Sm对AZ80镁合金腐蚀性能的影响 [J]. *材料热处理学报*, 2013, 34(4): 41
- [17] Song G, Atrens A, Dargusch M. Influence of microstructure on the corrosion of diecast AZ91D [J]. *Corros. Sci.*, 1988, 41(2): 249
- [18] Song G, Atrens A. Understanding magnesium corrosion—a framework for improved alloy performance [J]. *Adv. Eng. Mater.*, 2003, 5(12): 837
- [19] 林翠. 金属材料在典型污染大气环境中初期腐蚀行为和机理研究 [D]. 北京科技大学, 2004
- [20] Zhang J, Wang J, Qiu X, et al. Effect of Nd on the microstructure, mechanical properties and corrosion behavior of die-cast Mg-4Al-based alloy [J]. *J. Alloys. Compd.*, 2008, 464(1/2): 556
- [21] 胡赓祥, 蔡珣. 材料科学基础 [M]. 第1版. 上海: 上海交通大学出版社, 2000: 37
- [22] 吴道高, 颜世宏. 稀土Sm对AZ92镁合金耐腐蚀性能的影响 [J]. *稀有金属*, 2013, 37(2): 199